# Zum Einfluß von arylständigen Substituenten auf die Komplexbildung von Monobenzokronenethern mit Alkalimetallionen in Methanol und Aceton

# Rainer Trültzsch und Jörg Beger

Freiberg, Institut für Organische Chemie der Bergakademie

#### **Gert Wolf**

Freiberg, Institut für Physikalische Chemie der Bergakademie

# Hans-Jürgen Buschmann

Krefeld, Deutsches Textilforschungszentrum Nord-West e. V.

Eingegangen am 23. Oktober 1992 bzw. 17. März 1993

# Influence of Aryl-bonded Substituents on Complex Formation of Benzocrown Ethers with Alkali Metal Ions in Methanol and Acetone Solutions

**Abstract.** The influence of aryl-bonded substituents upon the complex formation of monobenzocrown ethers towards alkali metal ions in methanol and acetone solutions are investigated by using calorimetric and potentiometric titration. A different complexation behaviour of the ligands in acetone and methanol was found. In the case of the 1:1 complexation of Na<sup>+</sup> a correlation between substituent effects and stability constants in acetone was noticed, however, the influence of substituents

upon complex stability is weak. In methanol solutions no similar correlation could be established. During sandwich complexation of  $K^{\scriptscriptstyle +}$  in methanol, no significant substituent influences on  $K_1$  and  $K_2$  were observed. On the other hand, a considerable increase of  $\Delta H_2$  for both the electron accepting and electron releasing substituents was found, probably caused by changes in ligand-cation solvation due to the substituents.

#### Einleitung

Die Komplexbildung von Kronenverbindungen mit Metallionen ist Gegenstand zahlreicher Untersuchungen und Publikationen [1]. Durch Strukturvariationen kann das Komplexierungsverhalten dieser Wirtsmoleküle oft erheblich verändert werden [2,3]. Eine Möglichkeit der Strukturvariation und der gezielten Beeinflussung des komplexchemischen Verhaltens ist die Einführung funktionalisierter aromatischer Gruppen in das Wirtsmolekül [4]. Zweck dieser Funktionalisierung am Aromaten ist in erster Linie eine Veränderung der Basizität von Donorstellen und damit des Komplexbildungsverhaltens des Liganden.

Viele Untersuchungen zum komplexchemischen Verhalten von Kronenethern in Lösung wurden bisher an einfachen und synthetisch gut zugänglichen Verbindungen, wie [15]Krone-5 und [18]Krone-6, durchgeführt. Von diesen einfach gebauten Kronenethern existieren zu einem Ligand-Ion-Solvens-System viele Parallelbestim-

mungen zumeist guter Übereinstimmung, so daß diese thermodynamischen Größen eine hohe Zuverlässigkeit haben. Die Verläßlichkeit der Daten ist bei Kronenethern etwas komplizierterer Struktur oft geringer.

Dabei werden Stabilitätskonstanten weit häufiger angegeben als die entsprechenden Reaktionsenthalpien oder -entropien [1]. Mit deren Kenntnis können jedoch weiterführende Aussagen hinsichtlich der Wechselwirkung der Kationen mit den Donorzentren von Liganden getroffen werden [6]. Auch Solvationsaspekte von Ligand und Kation sind bei Kenntnis der thermodynamischen Größen ΔH und TΔS besser diskutierbar.

Zum Substituenteneinfluß auf die thermodynamischen Größen von Benzokronenether-Metallionen-Gleichgewichten in Lösung sind einige Arbeiten bekannt, die sich Extraktionsuntersuchungen [7] bzw. der konduktometrischen Bestimmung von Stabilitätskonstanten bedienen [8]. In weiteren Publikationen wird die Komplexbildung substituierter Benzo[15]krone-5-ether mit Alkali-, Erdalkali- und Übergangsmetallionen in verschiedenen

J. prakt. Chem. 336 (1994)

Lösungsmitteln unter Anwendung unterschiedlicher physikalisch-chemischer Methoden untersucht [9].

Das Anliegen dieser Arbeit ist es, den Einfluß von ausgewählten Substituenten auf die Stabilitätskonstante K, die Reaktionsenthalpie ΔH und die Reaktionsentropie ΔS der Komplexbildung der Monobenzokronenether 1a-l mit Alkaliionen in reinem Methanol zu untersuchen und mit dem Koordinierungsverhalten von ausgewählten Liganden, die sowohl elektronenziehende als auch elektronendrückende arylständige Substituenten tragen, in Aceton zu vergleichen.

Formelbild 1 In dieser Arbeit untersuchte Monobenzokronenether 1a-l.

**Tabelle 1** Thermodynamische Größen der 1:1-Komplexbildung von 4'-substituierten Benzo[15]krone-5-ethern mit Alkaliionen in Methanol bei  $25 \, ^{\circ}\text{C}^{\text{a})}$  (log K, K in 1 mol<sup>-1</sup>;  $\Delta$ H,  $T\Delta S$  in kJ mol<sup>-1</sup>)

Ligand	Parameter	Na <sup>+</sup>	K <sup>+</sup>	Rb <sup>+</sup>	Cs <sup>+</sup>
1a	log K ΔH TΔS	3,16 -21,0 -2,9	> 5 <sup>b)</sup> -27,0	> 5 <sup>b)</sup> -22,8	3,52 <sup>c)</sup> -13,9 <sup>c)</sup> 6,2 <sup>c)</sup>
1b	log Κ ΔΗ ΤΔS		> 5 -22,7	> 5 -16,0	2,96 -9,6 7,3
1f	log K ΔH TΔS	2,98 -21,3 -4,3	> 5 -25,9	> 5 -22,1	3,19 -14,6 3,6
1i	log K ΔH TΔS	,	> 5 -15,0	> 5 -11,8	3,73 -8,5 12,8
1k	log K ΔH TΔS		> 5 -25,0	> 5 -22,1	3,13 -16,6 1,3
11	log K ΔH TΔS	2,68 -10,4 4,9	> 5 -19,9	> 5 -16,1	3,86 -7,6 14,4

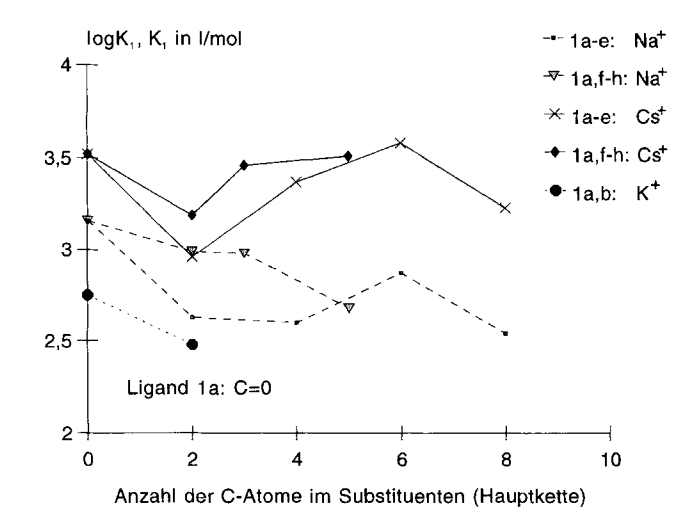
<sup>&</sup>lt;sup>a)</sup>Kalorimetrische Titration

## **Ergebnisse und Diskussion**

Die Ergebnisse der 1:1-Komplexbildung der Liganden **1a-l** mit Alkalionen sind in Tab. 1 dargestellt. Die Untersuchungen an K<sup>+</sup>- und Rb<sup>+</sup>-Komplexen der Benzokronenether erwiesen sich als kompliziert, da der Ligand **1a** mit größeren Metallkationen (M<sup>n+</sup>) gleichzeitig 1:1- und Sandwich-Komplexe bildet, die beide von ähnlicher Stabilität sind [9, 15, 17].

Die Auswahl der Benzokronenether wurde so getroffen, daß neben Substituenteneinflüssen auf die Komplexbildung auch sterische Aspekte diskutiert werden können. Das letztere ist insbesondere bei Sandwichstrukturen von Bedeutung. Die kalorimetrischen Untersuchungen führten bei den K<sup>+</sup>-Komplexen der Benzokronenether aufgrund des gekoppelten Gleichgewichts mit annähernd gleichen Stabilitätsstufen nur über eine Verdrängungstitration mit Kryptand (222) zur Bestimmung von  $\Delta H_2$ . Die Stabilitätskonstanten  $K_1$  und  $K_2$  des  $K^+$ -Komplexes von Ligand 1a sind kalorimetrisch nicht direkt bestimmbar, da sich die thermischen Effekte der 1:1und Sandwichkomplexbildung überlagern [15]. Dies führt zu nicht auswertbaren Titrationskurven. Deshalb wurde eine potentiometrische Bestimmung der beiden Stabilitätskonstanten mittels ionenselektiver Elektrode vorgenommen. Dieses Verfahren hat jedoch in relativ niedrigen Stabilitätsbereichen einen etwas größeren Fehler als bei höheren Stabilitätskonstanten [5].

Für Rb<sup>+</sup> gibt es keine in nichtwäßrigen Systemen erfolgreich einsetzbare Elektrode, so daß Rb<sup>+</sup> nicht in umfassendere komplexchemische Untersuchungen einbezogen werden konnte. Parallelen zum Verhalten der Rb<sup>+</sup>-Komplexe könnten aber aufgrund der ähnlichen Größe und Ladungsdichte des K<sup>+</sup>-Ions aus den Daten der K<sup>+</sup>-Komplexe der untersuchten Liganden gezogen werden.



**Abb. 1** Stabilitätskonstanten  $K_1$  der Komplexe von Monobenzokronenethern (**1a–h**) mit Na<sup>+</sup>,  $K^+$  und Cs<sup>+</sup> in Abhängigkeit von der Anzahl der Kohlenstoffatome im linearen Teil des Substituenten in Methanol bei 25 °C. Benzo[15]krone-5, **1a**: Anzahl C-Atome = 0)

b) Aus dem Thermogramm ist log K für K<sup>+</sup> und Rb<sup>+</sup> nicht direkt bestimmbar, siehe auch Lit. [15]

<sup>&</sup>lt;sup>c)</sup>Lit. [15]

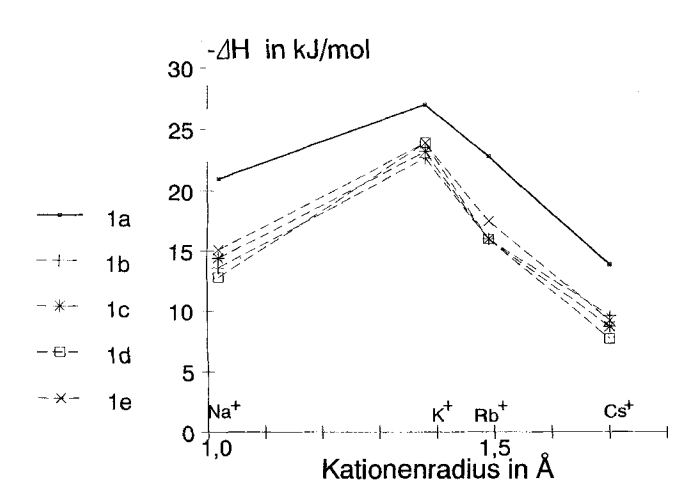
In Abb. 1 sind die Stabilitätskonstanten  $K_1$  der  $Na^+$ - und  $Cs^+$ -Komplexe der Verbindungen 1a-h in Abhängigkeit von der Kettenlänge des Acyl- bzw. Alkylsubstituenten dargestellt. Es wurden dabei nur die Kohlenstoffatome berücksichtigt, die Bestandteil der linearen Alkylkette sind.

Arylständige Acylsubstituenten vermindern die Stabilitätskonstante K<sub>1</sub> der Alkalikomplexe. Der Grad der Stabilitätsverringerung ist für Na<sup>+</sup> und Cs<sup>+</sup> erwartungsgemäß nur wenig von der Alkylrestkettenlänge des Acylsubstituenten abhängig. Acylreste mit geringer Kettenlänge setzen die Stabilität der Na<sup>+</sup>- und Cs<sup>+</sup>-Komplexe etwas stärker herab als solche mit größerer Kettenlänge. Aufgrund des ähnlichen Verhaltens der Acylbenzokronenether **1b–e** wurde stellvertretend nur der Ligand **1b** bezüglich der Komplexbildung mit K<sup>+</sup> umfassender untersucht. Die Verringerung der Stabilitätskonstante K<sub>1</sub> des K<sup>+</sup>-Komplexes von Ligand **1b** ordnet sich in die Resultate ein, die für Na<sup>+</sup> und Cs<sup>+</sup> erhalten wurden.

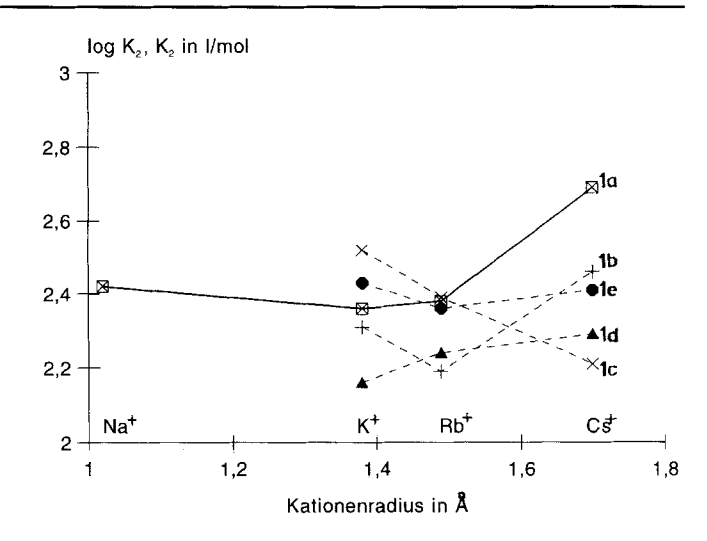
Die Verminderung der Stabilitätskonstanten  $K_1$  der Alkalikomplexe der Verbindungen **1b-e** im Vergleich zu Ligand **1a** ist auf die Abnahme von  $\Delta H_1$  zurückzuführen (Abb. 2). Die Reaktionsenthalpie, als Ausdruck der Stärke der Ladungs-Dipol-Wechselwirkungen, wird durch den -I- bzw. -M-Effekt der Carbonylgruppe vermindert. Die Reaktionsentropie  $\Delta S_1$  nimmt durch die Einführung von Acylfunktionen im Vergleich zu Verbindung **1a** in Methanol leicht zu (Tab. 2).

Die Stabilitätskonstante  $K_2$  der Alkalikomplexe wird im Schnitt durch Acylsubstituenten nur unwesentlich verringert (Abb. 3). Die Stabilitätskonstanten  $K_2$  der Verbindungen **1b–e** liegen fast innerhalb des experimentellen Fehlers des  $K_2$ -Wertes von Ligand **1a**. Mit zunehmender Größe des Kations beeinflußt die Acylgruppe die Stabilitätskonstante  $K_2$  allerdings etwas mehr.

Bei den kalorimetrischen Titrationsexperimenten zur Bestimmung von K<sub>2</sub> wird als Relativwert eine Bruttore-



**Abb. 2** Reaktionsenthalpie ΔH<sub>1</sub> der Komplexbildung von Acylbenzokronenethern (**1b–e**) mit Alkaliionen in Methanol bei 25 °C (zum Vergleich mit Ligand **1a**)



**Abb. 3** Stabilitätskonstante K<sub>2</sub> der Komplexe der Monobenzokronenether **1a–e** mit Alkaliionen in Methanol bei 25 °C

aktionswärme Q<sub>t</sub> erhalten, die durch folgende Gleichung ausgedrückt wird:

$$Q_{t} = \Delta n_{1,t} \Delta H_{1} + \Delta n_{2,t} (\Delta H_{1} + \Delta H_{2}) \tag{1}$$

Unbekannt ist dabei, wieviel LM<sup>n+</sup>-( $\Delta n_{LI}$ ) und wieviel  $L_2M^{n+}$ -Komplex ( $\Delta n_{2,t}$ ) jeweils in der Lösung vorliegen. Da  $\Delta H_2$  der K<sup>+</sup>-, Rb<sup>+</sup>- und Cs<sup>+</sup>-Komplexe von Ligand 1a jeweils wesentlich größer ist als  $\Delta H_1$  [15], sollten für die Acylverbindungen 1b-e in etwa ähnliche Größenverhältnisse zwischen  $\Delta H_1$  und  $\Delta H_2$  erwartet werden. Die Bruttoreaktionswärme Q, zeigt nun für die K<sup>+</sup>-, Rb<sup>+</sup>- und Cs<sup>+</sup>-Komplexe der Liganden 1b-e höhere Werte als für die unsubstituierte Verbindung 1a. Dafür kämen zwei Ursachen in Betracht. Einmal kann der Anteil an gebildetem Sandwichkomplex steigen, indem sich K<sub>2</sub> erhöht. Zum anderen kann aber auch der Wert  $\Delta H_2$  durch den Acylsubstituenten zunehmen. Da aber K2 nicht größer wird, muß sich der Wert von  $\Delta H_2$  erhöhen. Im Falle des  $K^+$ -Komplexes von Ligand 1b erhöht sich  $\Delta H_2$  um ca. 7 kJ·mol<sup>-1</sup>, bei gleichzeitiger Verringerung von  $T\Delta S_2$ um etwa 7 kJ·mol<sup>-1</sup> gegenüber Ligand 1a.

**Tabelle 2** Reaktionsentropien der 1:1-Komplexbildung von Benzo[15]krone-5-ethern mit Alkaliionen in Methanol bei 25 °C<sup>a)</sup>

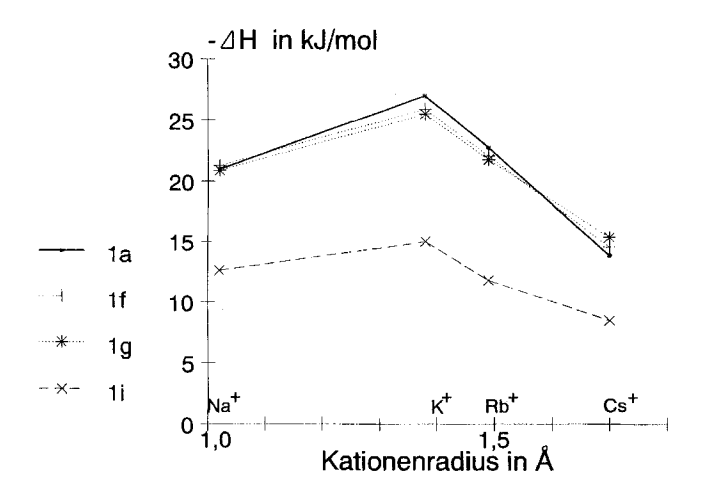
 $(T\Delta S \text{ in } kJ\text{mol}^{-1})$ 

Ligand	Parameter	Na <sup>+</sup>	Cs <sup>+</sup>
1a	ΤΔS	-2,9	6,2 <sup>b)</sup>
1b	$T\Delta S$	1,5	7,3
1c	$T\Delta S$	0,4	10,3
1d	$T\Delta S$	3,6	12,6
1e	$T\Delta S$	-0,6	9,2

a)Kalorimetrische Titration

b)Lit. [15]

J. prakt. Chem. 336 (1994)



**Abb. 4** Reaktionsenthalpie  $\Delta H_1$  der Komplexbildung der Alkylbenzokronenether **1f**, **1g** und **1i** mit Alkaliionen in Methanol bei 25 °C (zum Vergleich mit Ligand **1a**)

Tertiäre Alkylsubstituenten (Liganden 1f-h) verändern die Stabilitätskonstante K<sub>2</sub> der Na<sup>+</sup>- und Cs<sup>+</sup>-Komplexe im Durchschnitt weniger als Acylfunktionen in der gleichen Stellung (Abb. 1 und Tab. 1). Es werden zwei gegenläufige Effekte erwartet, welche die Stabilitätskonstante der Alkalikomplexe beeinflussen, einmal der elektronische +I-Effekt der Alkylgruppe und zum anderen der sterische Effekt durch die voluminösen Substituenten. Der elektronische Einfluß der Alkylgruppe wirkte sich nicht auf K<sub>1</sub> aus. Als Trend ist bei den Liganden **1f-h** sogar eine leichte Verringerung von K<sub>1</sub> mit steigender Anzahl von C-Atomen der Substituenten feststellbar. Größere sterische Einflüsse auf K<sub>1</sub> werden erst bei Verbindung 1i mit zwei tertiären Butylgruppen beobachtet. K<sub>1</sub> der Na<sup>+</sup>- und K<sup>+</sup>-Komplexe ist bei diesem Liganden von allen untersuchten Derivaten am kleinsten.

 $\Delta H_1$  und  $\Delta S_1$  der Alkalikomplexe werden durch eine tertiäre Butylgruppe kaum, von zwei dagegen merklich beeinflußt. Dies führt bei Ligand 1i zu stark verminderten Werten von  $\Delta H_1$  und  $\Delta S_1$  (Abb. 4). Die Bildung von Sandwichkomplexen mit größeren Kationen, wie z.B.  $K^+$ , wird bei Verbindung 1i ebenfalls sterisch behindert (Tab. 3). Das findet seinen Ausdruck in entsprechend niedrigen Werten von  $\Delta H_2$  und  $K_2$ .

Andere arylständige Substituenten, wie z. B. -NH<sub>2</sub> oder -NO<sub>2</sub>, beeinflussen  $K_1$  und  $\Delta H_1$  der Na<sup>+</sup>- und  $K^+$ -Komplexe ebenfalls. Eine Korrelation zwischen dem Substituenteneinfluß von  $K_1$  bzw.  $K_2$  kann in Methanol nicht beobachtet werden.  $K_1$  wird von Substituenten mit -I-bzw. -M-Effekt (-NO<sub>2</sub>, -CO-CH<sub>3</sub>) eindeutig herabgesetzt, dagegen von Substituenten mit +I- bzw. +M-Effekt (-NH<sub>2</sub>, -C-(CH<sub>3</sub>)<sub>3</sub>) nicht erhöht.

Die Reaktionsenthalpie  $\Delta H_1$  ändert sich differenzierter. Substituenten mit -I- bzw. -M-Effekt führen zu einer starken Verminderung, Substituenten mit +I- bzw. +M-Effekt dagegen nur zu einer schwachen Erhöhung von  $\Delta H_1$ . Inwieweit sie dem Substituenteneinfluß

**Tabelle 3** Komplexbildung von Benzo[15]-krone-5-ethern mit Alkaliionen in Methanol bei 25 °C (log K, K in 1 mol<sup>-1</sup>; ΔH, TΔS in kJ mol<sup>-1</sup>)

Ligand	Parameter	Na <sup>+</sup>	$K^+$
1a	$egin{array}{l} \log \ \mathrm{K}_1 \ \Delta \mathrm{H}_1 \ \mathrm{T} \Delta \mathrm{S}_1 \ \log \ \mathrm{K}_2 \ \Delta \mathrm{H}_2 \ \mathrm{T} \Delta \mathrm{S}_2 \end{array}$	$ \begin{array}{c} 3,16^{a)} \\ -21,0 \\ 3,0 \\ 2,42^{d)} \\ \sim 0 \end{array} $	2,75 <sup>c)</sup> -27,0 <sup>a)</sup> -11,3 2,36 <sup>c)</sup> -43,1 <sup>b)</sup> -29,6
1b	$\begin{array}{c} \log \ K_1 \\ \Delta H_1 \\ T\Delta S_1 \\ \log \ K_2 \\ \Delta H_2 \\ T\Delta S_2 \end{array}$	2,63 <sup>a)</sup> -13,6 1,4 -e)	2,48 <sup>b)</sup> -22,7 <sup>a)</sup> -8,5 2,13 <sup>a)</sup> -49,9 <sup>b)</sup> -36,7
1i	$egin{array}{l} \log \ \mathrm{K}_1 \ \Delta \mathrm{H}_1 \ \mathrm{T} \Delta \mathrm{S}_1 \ \log \ \mathrm{K}_2 \ \Delta \mathrm{H}_2 \ \mathrm{T} \Delta \mathrm{S}_2 \end{array}$	2,60 <sup>a)</sup> -12,0 2,2 e)	$2,48^{c)}$ $-15,0^{a)}$ $-0,6$ $2,21^{c)}$ $-32,4^{b)}$ $-19,8$
1k	$egin{array}{l} \log \ \mathrm{K}_1 \ \Delta \mathrm{H}_1 \ \mathrm{T} \Delta \mathrm{S}_1 \ \log \ \mathrm{K}_2 \ \Delta \mathrm{H}_2 \ \mathrm{T} \Delta \mathrm{S}_2 \end{array}$	2,95 <sup>a)</sup> -22,4 5,6 _c)	3,05°) -25,0°a) -7,6 3,09°) -48,8°b) -31,2
11	$\begin{array}{c} \log \ K_1 \\ \Delta H_1 \\ T\Delta S_1 \\ \log \ K_2 \\ \Delta H_2 \\ T\Delta S_2 \end{array}$	2,68 <sup>a)</sup> -10,4 4,9 -c)	2,55°) -19,9°a) -5,3 2,62°) -46,3°b) -31,3

a)Kalorimetrische Titration

entspricht, ist schwer zu bestimmen, da der Substituent differenziert auf die Elektronendichte der benzolgebundenen Sauerstoffatome wirkt.

Die geringe Erhöhung von  $\Delta H_1$  wird aber durch entropische Effekte kompensiert, so daß sich die durch elektronendrückende Substituenten hervorgerufene Steigerung der Elektronendichte im Aromaten in Methanol nicht signifikant steigernd auf  $K_1$  auswirken kann. Substituenten, wie -NO<sub>2</sub>, -NH<sub>2</sub> und -CO-CH<sub>3</sub>, führen bei den  $K^+$ Komplexen trotz gegenläufigen Einflusses auf die Elektronendichte im Aromaten aber stets zu einer Erhöhung von  $\Delta H_2$ . Die gleichzeitige fast adäquate Verringerung von  $\Delta S_2$  bewirkt, daß  $K_2$  von den Substituenten fast unbeeinflußt bleibt.  $\Delta H_2$  wird offenbar kaum von induktiven

<sup>&</sup>lt;sup>b)</sup>Kalorimetrische Verdrängungstitration mit Kryptand (222)

c)Potentiometrische Titration mit K<sup>+</sup>-sensitiver Elektrode

<sup>&</sup>quot;Lit. [15]

e)Variierte Konzentrationsverhältnisse von Ligand und Na<sup>+</sup> führten stets zu log K- und ΔH-Werten, wie sie bei der Bestimmung des 1:1-Komplexes erhalten wurden. Siehe auch Lit. [15]

oder mesomeren Effekten der Substituenten auf die elektronische Struktur des Aromaten beeinflußt. Die differenzierten Werte von  $T\Delta S_2$  sind einmal Ausdruck sterischer Beanspruchung der Ligandmoleküle bei der Sandwichkomplexbildung [15], andererseits wird dadurch auch wahrscheinlich, daß der Substituent hauptsächlich über Solvateffekte an Ligand und Kation zur Zunahme des Wertes von  $\Delta H_2$  beiträgt (Tab. 3).

Diese Beobachtungen waren Anlaß, Untersuchungen an Na<sup>+</sup>-Komplexen der Liganden 1a-b sowie 1k-l in Aceton durchzuführen. Die Ergebnisse sind in Tab. 4 zusammengefaßt. Die Stabilitätskonstanten K<sub>1</sub> der Na<sup>+</sup>-Komplexe ändern sich in Aceton je nach Substituent um einen Faktor von etwa 4. Es liegt somit, bedingt durch entropische Effekte, ein deutlich geringerer Einfluß des Substituenten auf K1 vor, als in der Literatur beschrieben [8]. Eine Korrelation von Substituenteneffekten und K1 kann jedoch in Aceton im Gegensatz zu Methanol festgestellt werden. Die in Aceton erhaltenen thermodynamischen Größen für die 1:1-Komplexbildung unterscheiden sich allerdings nicht sehr von den in Methanol erzielten Ergebnissen. Hier beträgt der Faktor zwischen der niedrigsten und der höchsten Stabilitätskonstante etwa 3.

**Tabelle 4** Substituenteneinfluß auf die 1:1-Komplexbildung von Benzo[15]-krone-5-ethern mit Na $^+$ -Ionen in Methanol und Aceton bei 25  $^{\circ}$ Ca)

(log  $K_1$ ,  $K_1$  in 1 mol<sup>-1</sup>;  $\Delta H_1$ ,  $T\Delta S_1$  in kJ mol<sup>-1</sup>)

( 2 1) 1			•	ŕ	
Ligand	$logK_1$	$\Delta H_1$	$T\Delta S_1$	K <sub>1</sub> /K <sub>1(1b)</sub>	
in Methanol					
1a	3,16	-21,0	-2,9	3,4	
1b	2,63	-13,6	1,4	1	
1k	2,95	-22,4	-5,6	2,1	
11	2,68	-10,4	4,9	1,1	
in Aceton					
1a	3,69	-21,4	-0,3	3,1	
1b	3,20	-19,1	-0,8	1	
1k	3,79	-23,4	-1,8	3,9	
11	3,50	-12,0	8,0	2,0	

a)Kalorimetrische Titration

Die Reaktionsenthalpien und -entropien der untersuchten Kronenetherkomplexe verändern sich in Aceton ebenfalls substituentenabhängig. Substituenten mit +I- bzw. +M-Effekt führen zu einer Erhöhung, solche mit -I- bzw. -M-Effekt zu einer verhältnismäßig starken Verringerung von  $\Delta H_1$ . Diese Differenzen von  $\Delta H_1$  sind größer als in Methanol. Die Verminderung von  $\Delta S_1$  fällt dafür jedoch geringer aus, wodurch letztendlich die bessere Korrelation von  $K_1$  und den Substituenteneinflüssen zustande kommt.

## Beschreibung der Versuche

Allgemeines, Geräte und Methodenangaben

Die Salze NaCl, KI, RbCl und CsI (alle Merck) waren wasserfrei und von der Qualität p. a. Sie wurden vor der Verwendung 12 Stunden bei 120 °C getrocknet und anschließend 24 Stunden unter Vakuum gehalten. Methanol p. a. (Merck), Wassergehalt < 0,01 %, und Aceton p. a. (Aldrich), Wassergehalt < 0,03 %, wurden als Lösungsmittel verwendet. Die Stabilitätskonstante  $K_1$  der Komplexe mit 1:1-Stöchiometrie wird durch folgende Gleichung beschrieben :

$$M^{n+} + L \rightleftharpoons ML^{n+} \quad K_1 = \frac{[ML^{n+}]}{[M^{n+}][L]}$$
 (2)

Liegt ein gekoppeltes Gleichgewicht der Form

$$M^{n+} + L \rightleftharpoons ML^{n+} + L \rightleftharpoons ML_2^{n+} \tag{3}$$

vor, ist

$$K_2 = \frac{[ML_2^{n+}]}{[ML^{n+}][L]} \text{ und } \beta_2 = K_1 K_2$$
 (4)

$$(K_{1,2} \text{ in } 1 \text{ mol}^{-1}, \ \beta_2 \text{ in } 1^2 \text{mol}^{-2})$$

Die kalorimetrischen Titrationen wurden mit einem Kalorimeter durchgeführt, dessen Kalibrierung nach einem internationalen Standard (Certified Reference Material) erfolgte. Sein Aufbau wurde bereits beschrieben [13]. Zu Vergleichszwecken erfolgten Messungen an einem Kalorimeter Tronac Modell 458. Zur Bestimmung von K<sub>1</sub> wurde eine Ligandlösung (0.08M) zu 50 ml einer Salzlösung  $5*10^{-3}$ M) titriert. K<sub>2</sub> konnte bestimmt werden, indem eine Salzlösung (0.08M) zu 50 ml einer Ligandlösung ( $5*10^{-3}$ M) titriert wurde. Die Ausgangsvolumina im Reaktionsgefäß des Kalorimeters Tronac Modell 458 betrugen statt 50 ml nur jeweils 40 ml. Die experimentelle Durchführung und die Auswertung der Thermogramme sind ausführlich in den Publikationen [13–15] dargelegt worden.

Zur Ermittlung der Summe ( $\Delta H_1 + \Delta H_2$ ), aus der dann  $\Delta H_2$  durch Differenzbildung berechnet werden kann, ist ein weiteres unabhängiges Experiment erforderlich [16], welches unter Ausnutzung folgender Verdrängungsreaktion abläuft:

$$L_2M^{n+} + (222) \rightleftharpoons (222)M^{n+} + 2L$$
 (5)

Zu einer Lösung (50 ml), die  $5 \cdot 10^{-3}$  mol  $\Gamma^{-1}$  Alkalisalz und einen ca. 30-fachen Überschuß des Liganden L enthält, wird eine 0.08 M Lösung von Kryptand (222) (Merck) titriert. Die Auswertung dieser Thermogramme erfolgte analog [16].

Alle potentiometrischen Titrationen wurden mit einer K<sup>+</sup>sensitiven Elektrode (Ingold pK 201-S7) durchgeführt. Die experimentellen Details und die Auswertung der potentiometrischen Meßkurven wurden bereits beschrieben [5].

Synthese der substituierten Monobenzolkronenether

Die Synthese der Ausgangsverbindung 1a erfolgte nach einer bekannten Methode [4]. Für die Untersuchungen zur Komplexbildung von Monobenzokronenethern mit Alkaliionen wurden die Verbindungen 1b-e nach [10], 1f-i in Anlehnung an [11] und 11 gemäß [8] dargestellt. Die Verbindung 11, Fp.<sub>Lit.</sub> = 84..85 °C (Ethanol), hatte einen Schmelzpunkt von 94..95 °C (Methanol). Bei allen anderen Liganden war der Schmelzpunkt identisch mit den Literaturangaben. Die Darstellung von Ligand 1k erfolgte aus der Verbindung 11 durch Reduktion mit Raney-

Nickel/Hydrazinhydrat entsprechend einer bekannten Vorschrift zur Reduktion aromatischer Nitroverbindungen [12].

Die Struktur aller dargestellten Verbindungen (Formelbild 1) wurde durch Elementaranalyse und <sup>1</sup>H-NMR-Spektroskopie bestätigt.

#### Literatur

- [1] R. M. Izatt, K. Pawlak, J. S. Bradshaw, R. L. Bruening, Chem. Rev. 91 (1991) 1721
- [2] Siehe z. B. S. Patai, Z. Rappoport (Hrsg.), in: Crown Ethers and Analogs, J. Wiley, Chichester 1989
- [3] Siehe u. a. Y. Inoue, G. W. Gokel (Hrsg.), in: Cation Binding by Macrocycles, M. Dekker, New York 1990; R. D. Hancock, A. E. Martell, Chem. Rev. 89 (1989) 1875
- [4] C. J. Pedersen, J. Am. Chem. Soc. 89 (1967) 7017; C. J. Pedersen, J. Org. Chem. 36 (1971) 254; S. Kopolew, T. E. Hogen Esch, J. Smid, Makromolecules 6 (1973) 133; F. Vögtle, B. Jansen, Tetrahedron Lett. 1976, 4895; F. Vögtle, K. Frensch, Angew. Chem. (Int. Ed.) 15 (1976) 685
- [5] H. J. Buschmann, Inorg. Chim. Acta 195 (1992) 51
- [6] H. J. Buschmann, Thermochim. Acta 107 (1986) 219
- [7] H. Tsukube, K. Takagi, T. Higashiyama, T. Iwachido, N. Hayama, Bull. Chem. Soc. Jpn. 58 (1985) 3659
- [8] R. Ungaro, B. El Haj, J. Smid, J.Am. Chem. Soc. 98 (1976) 5198; N. A. Parpiev, Sh. K. Norov, B. A. Tashmukhamedov, L. M. Mamadzhanov, A. K. Tashmukhamedova, Bioorg. Khim. 9 (1983) 1429
- [9] Y. Liu, L. Tong, Y. Inoue, T. Hakushi, J. Chem. Soc. Perkin Trans. 2 1990, 1247; W. Xiao, Z. Yi, Z. Qin, Huaxue Xuebao 44 (1986) 704; Chem. Abstr. 105 (1986) 140 818j; W. Xiao, Z. Ji, R. Lou, N. Dong, Y. Ren, X. Liu, S. Yu, X. Ni, Z. Qin, New Front. Rare Earth Sci. Appl., Proc. Int. Conf. Rare Earth Dev. Appl. 1 (1985) 208; Chem. Abstr. 106 (1987)

- 226301 t; V. P. Solovev, A. E. Vnuk, O. A. Raevskij, Izv. Akad. Nauk SSSR, Ser. Khim. **1988**, 776; V. P. Solovev, N. N. Strakhova, O. A. Raevskij, Dokl. Nauk SSSR, Ser. Khim **304** (1989) 1374; M. Berthet, E. Sonveaux, Biopolymers **25** (1986) 189
- [10] J. Beger, M. Meerbote, J. Prakt. Chem. **329** (1987) 923
- [11] J. Beger, M. Meerbote, J. Prakt. Chem. 327 (1985) 2
- [12] Houben-Weyl, Methoden der präparativen organischen Chemie, Bd. IV/lc Stuttgart: Georg Thieme Verlag 1980, 511
- [13] G. Wolf, Sci. Instr. 1 (1986) 79; C. Günther, R. Pfestorf, M. Rother, J. Seidel, R. Zimmermann, G. Wolf, V. Schröder, J. Thermal Anal. 33 (1988) 359
- [14] R. M. Izatt, D. J. Eatough, J. J. Christensen, R. L. Snow, J. Phys. Chem. 72 (1968) 1208; J. J. Christensen, J. Ruckman, D. J. Eatough, R. M. Izatt, Thermochim. Acta 3 (1972) 203; D. J. Eatough, J. J. Christensen, R. M. Izatt, ibid. 219; D. J. Eatough, R. M. Izatt, J. J. Christensen, ibid. 233
- [15] H. J. Buschmann, Chem. Ber. 118 (1985) 2746
- [16] H. J. Buschmann, Thermochim. Acta 102 (1986) 179
- [17] D. G. Parsons, M. R. Truter, J.N. Wingfield, Inorg. Chim. Acta 47 (1980) 81; D. Ph. Zollinger, E. Bulten, A. Chistenhusz, M. Bos, W. E. van der Linden, Anal. Chim. Acta 198 (1987) 207

#### Korrespondenzanschrift:

Dr. Rainer Trültzsch Max-Planck-Institut für Kohlenforschung Kaiser-Wilhelm-Platz 1 D-45470 Mülheim a. d. Ruhr